

CUDAによる定常反復 Poisson ベンチマークの高速化

小川 慧[†] 青木 尊之^{††}

SIMD 型のアクセラレータである GPU を使い、格子系の流体計算などで最も計算負荷の高い Poisson 方程式の高速化を試みた。定常反復法である Point Jacobi 法で Poisson 方程式を計算する理研(姫野)ベンチマークテストに対し、CUDA でプログラミングすることにより 1 枚の GPU で 30.6 GFLOPS の演算性能が得られた。また、複数 GPU を用いた計算では、CPU 側のメモリ上に作成したバッファを介して GPU 間の通信を行い、4 GPU を用いて最大 93.6 GFLOPS の演算性能が達成された。

Acceleration of Point-Jacobi Poisson Solver by using GPU

SATOI OGAWA[†] and TAKAYUKI AOKI^{††}

The Poisson equation which is the major time consuming of CFD (Computational Fluid Dynamics) is solved on the GPU as a SIMD-type accelerator. The Riken (Himeno) benchmark problem uses the Point-Jacobi method to solve the Poisson equation and the performance of 30.6 GFLOPS is achieved when we use a nVIDIA GeForce 8800 Ultra card. The GPU code is described by CUDA and 4-GPU parallel computing scores 93.6 GFLOPS.

1. はじめに

GPU(Graphics Processing Unit)はグラフィックス処理だけでなく、SIMD型アクセラレータとして汎用計算に用いる試みがGPGPU(General-Purpose computation on GPU)またはGPUコンピューティングとして注目されている。GPUはCPUに比べて広いバンド幅を持つビデオメモリと高速な浮動小数点演算器を搭載したSP(Streaming Processor)を持つハードウェアである。これまでのGPUコンピューティングは頂点ユニットおよびシェーダーユニットがプログラム可能であることを利用、汎用計算をグラフィックス機能に置き換えて実行させる必要があり、cg言語と呼ばれる言語で記述する必要があった。一昨年、CUDA¹⁾と呼ばれるGPGPU用のフレームワークがnVIDIA社よりリリースされ、グラフィックス機能を全く意識することなしにC言語の拡張としてプログラミングが可能になり、GPUを汎用計算の演算デバイスとして利用しやすい環境が整ってきた。GPUコンピューティングは既に幾つかの成果が奥山らの研究²⁾、坂牧らの分子動力学加速³⁾など報告されている。特に天体物理のN体粒子計算では256GFLOPSという実行性

能⁴⁾が報告されており、GPUの演算性能を十分に引き出すことに成功している。一方、格子計算は粒子計算と比較して計算精度が高いため理工学のさまざまな分野で重要な解析ツールとして広く使われているが、GPUを利用した高速計算は殆ど報告されていない。非圧縮性流体はMAC(Marker-and-Cell)法などのセミ陰解法と呼ばれる手法で計算されることが多く、圧力についてPoisson方程式を解く必要がある。電磁気学でも静電ポテンシャルはPoisson方程式に支配される。楕円型方程式であるPoisson方程式は空間格子上で離散化されると大規模線形一次連立方程式になり、係数行列は規則的な疎行列になる。非圧縮性流体計算では、計算時間の大半がPoisson方程式の計算に費やされるため、大規模疎行列計算を高速化する研究が精力的に行われてきた。本論文では、一般座標系におけるPoisson方程式を2次精度中心差分法で離散化した式を定常反復法であるPoint Jacobi法で計算する理研ベンチマーク問題をGPUで高速化することを試みる。Point Jacobi法は安定性と収束性が低いため現在では殆ど用いられない行列解法であるが、ベンチマーク問題として非常に多種類のCPUやプロセッサに対するデータが存在し、GPUで高速化の基準が見つけ易い。また他の利点として、反復計算が1ステップ前の値に基づいて行われるため、隣接計算のデータ依存性がなく、GPUの並列計算に向いているという点がある。GPUと同様なSIMD型のアクセラレータであるClearSpeed⁶⁾を使って理研ベンチマークテス

[†] 東京工業大学大学院理工学研究科
Tokyo Institute of Technology

^{††} 東京工業大学学術国際情報センター
Global Scientific Information and Computing Center,
Tokyo Institute of Technology

トを加速する研究⁷⁾では、カード上のメモリ転送速度が遅いために十分に演算性能を引き出すことができないことが報告されている。本研究は平成20年3月の理研シンポジウムの中で行われた理研ベンチマークコンテストに応募した内容に基づいている。

2. 理研ベンチマークテストの内容

一般座標系において、従属変数 p に関する3次元 Poisson 方程式

$$\frac{\partial^2 p}{\partial x^2} + \frac{\partial^2 p}{\partial y^2} + \frac{\partial^2 p}{\partial z^2} + \alpha \frac{\partial^2 p}{\partial xy} + \beta \frac{\partial^2 p}{\partial xz} + \gamma \frac{\partial^2 p}{\partial yz} = \rho \quad (1)$$

を2次中心差分法で離散化すると

$$\begin{aligned} & \frac{p_{i+1,j,k} - 2p_{i,j,k} + p_{i-1,j,k}}{\Delta x^2} \\ & + \frac{p_{i,j+1,k} - 2p_{i,j,k} + p_{i,j-1,k}}{\Delta y^2} \\ & + \frac{p_{i,j,k+1} - 2p_{i,j,k} + p_{i,j,k-1}}{\Delta z^2} \\ & + \alpha \frac{p_{i+1,j+1,k} - p_{i-1,j+1,k} - p_{i+1,j-1,k} + p_{i-1,j-1,k}}{4\Delta x\Delta y} \\ & + \beta \frac{p_{i+1,j,k+1} - p_{i-1,j,k+1} - p_{i+1,j-1,k} + p_{i-1,j-1,k}}{4\Delta x\Delta z} \\ & + \gamma \frac{p_{i,j+1,k+1} - p_{i,j-1,k+1} - p_{i,j-1,k-1} + p_{i,j-1,k-1}}{4\Delta y\Delta z} \\ & = \rho_{i,j,k} \end{aligned} \quad (2)$$

になる。ここで α, β, γ は座標変換のメトリック、 ρ は生成項で静電場ならば電荷密度、非圧縮性流体ならば速度の divergence である。理研ベンチマークテストは、式(2)を Point Jacobi 法で解く問題であり、C 言語および Fortran 言語のソースコードが準備されている。ここでは、反復計算中に変化しない係数行列を全て配列として保持し、反復計算の度に参照するコードとなっている。計算規模が S サイズ ($65 \times 65 \times 129$)、M サイズ ($129 \times 129 \times 257$)、L サイズ ($257 \times 257 \times 513$)、XL サイズ ($513 \times 513 \times 1025$) の4種類が準備されている。コード可変で独自の高速化チューニングが許されるのは S サイズの問題である。 $65 \times 65 \times 129$ の1配列は 2.18MB にしかならないが、表1に示すと

表1 理研ベンチマークで使用される代表的な配列
Table 1 Arrays used in Riken Benchmark

Name	Property
a0, a1, a2	Read only
b0, b1, b2	Read only
c0, c1, c2	Read only
bnd	Read only
wrk1	Read only
p	Read & Write
wrk2	Read & Write

り、理研ベンチマークテストは係数を全てこのサイズの配列12個に格納し、2つの配列が1つ前のステップの値と現ステップの値の格納に割り当てられ、読み書きの対象となる。この12個の配列は格子点間の相互参照がないために CPU キャッシュが効かず、メモリバンド幅が広いベクトル型スーパーコンピュータが非常に有利と言われている。従属変数 p に関しては図1のように多数の隣接参照があり、CPU の場合は計算

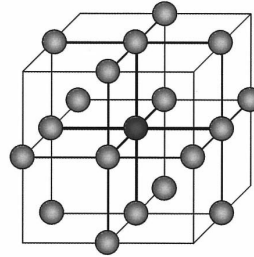


図1 理研ベンチマークテストの変数 p の隣接参照
Fig. 1 Stencil of Pressure Calculation

サイズに対応したキャッシュが効くので、キャッシュ・メモリのサイズが計算速度に大きく影響する。理研ベンチマークテストは初期条件を設定したあと、Point Jacobi 反復計算を3回行い、その後に500回の反復計算を行う部分の計算速度を計測するようになってい。本論文でも Point Jacobi 計算のみを GPU で計算させることにより CPU での計算と比較して高速化を行う。本研究に用いた計算機環境を表2に示す。本論文で用いた GPU の詳細を表3に示す。SP 数は

表2 実験に用いた PC の仕様
Table 2 Specification of used PC

CPU	AMD Phenom 9600(2.3GHz)
Memory	DDR2-800 SDRAM 4 GByte
Graphics	MSI NX8800ULTRA-T2D768E-HD-OC x 2 ELSA GD988-768ERU x 2
OS	CentOS 5.1, CUDA SDK 1.1

表3 使用した GPU の仕様
Table 3 Specification of used GPUs

Card Name	GPU1 (GPU2)
GPU Chip	GeForce8800Ultra[G92]
Peak Performance [GFLOPS]	384(414)
Number of SP	128
SP Clock [MHz]	1500(1618)
Memory Transfer Rate [GB/s]	103.68(110.4)
Memory Interface [bit]	384
Data Rate [GHz]	2.16(2.3)
Video memory [MB]	768

GPU1=ELSA GD988-768ERU

GPU2=MSI NX8800ULTRA-T2D768E-HD-OC

128、メモリインターフェースは384 bit、理論性能は最大1枚414 GFlopsである。

3. 1つのGPUによる高速化

3.1 Shared memory を使用した隣接点計算

理研ベンチマークテストに対する14個のSサイズの配列をGPUのビデオメモリ上に確保し、予めcudaMemcpy関数を用いてデータ転送しておく。ビデオメモリはCUDAではGlobal memoryと呼ばれ、全てのスレッドから共有でアクセスできる。今回用いたGeForce 8800 Ultraの場合、Global memoryからShared memoryにデータ転送する速度は、転送量に応じて図2のようなになる。Global memoryに対する連続アクセスはバースト転送を行うCoalced Accessとなる場合の測定結果である。

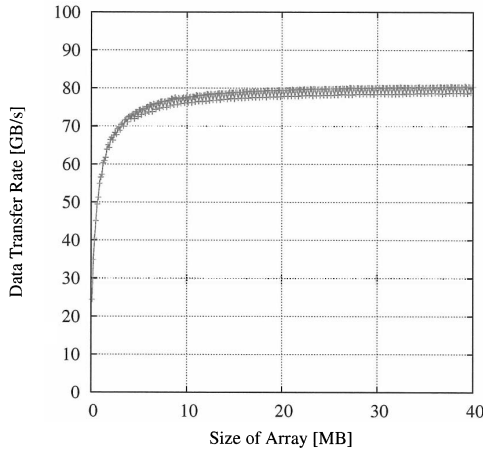


図2 Global memory と Shared memory 間の
実効メモリ帯域幅

Fig.2 Memory Transfer Rate between Global memory
and Shared memory

一方、ランダムメモリアクセスは転送速度が1/10に低下してしまう。先に示した通り、理研ベンチマークテストはデータ転送処理が多いため、Coalced Accessができたとしても実行時間中のデータ転送時間が占める割合が大きい。

Global memory 上の1変数配列2.18MBの読み出し速度は図2から70[GB/sec]程度であり、単精度データに対しては $70 \div 4 = 17.5$ GWord/secとなる。一方、理研ベンチマークテストは1格子点当たり14変数を読み書きし、34回の浮動小数点演算を行う。従って、演算時間が無視できるほど短い(性能が高い)と仮定しても最大演算性能は $17.5 \times 34 / 14 = 42.5$ GFLOPSである。しかし、圧力変数pの18回の隣接

参照を毎回行くと、計算速度は $17.5 \times 34 / (14 + 18) = 18.6$ GFLOPSに低下してしまう。圧力変数の隣接参照回数を減らすためにblock内で共有できるShared memoryをキャッシュとして利用する。8個のSPで構成するmultiprocessor内にあるShared memoryのサイズが16kBと少ないため、計算領域を $16 \times 16 \times 8$ の格子点の領域単位に図3のように分割する。1つの

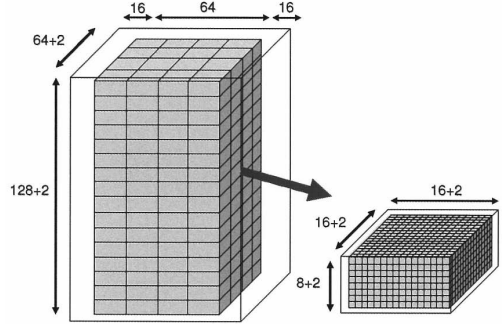


図3 Global memory と Shared memory 上の配列の構造
Fig.3 Assign of Block Structure and usage of Shared
memory

blockがこの計算領域を担当し、全体では $4 \times 4 \times 16$ のblockが存在することになる。block内のスレッドは $(16 + 2) \times (16 + 2) \times (8 + 2)$ の圧力変数を共有する。Shared memoryのサイズが担当計算格子より大きいのは、pが隣接参照の際のはみ出しに対するパディングである。この部分のメモリーロードは大半がCoalced Accessではないため、全体としてのデータ転送速度を低下させるが、転送量が少ないために低下率は低い。

3.2 誤差計算

理研ベンチマークテストは各格子点上で残差を計算し、その2乗の総和を残差として求めている。上記 $16 \times 16 \times 8$ の格子点の残差をShared memory上にセーブする。Shared memory上の総和計算は256個のスレッドでreductionを行い1つの値にした後、Global memory上に用意したblock構成に対応した配列ss[$4 \times 4 \times 16$]の1要素に転送する。500回の計算の最後にGPU上の誤差配列ssをCPU側に転送し、CPU上でssの256要素の総和をシリアルに求める。

3.3 浮動小数点演算の精度

GPUの浮動小数点計算はIEEEに準拠しているが丸めのモードが異なるなど、CPUの浮動小数点計算と誤差が異なる。理研ベンチマークテストの浮動小数点計算の精度検証については、CUDAのエミュレーションはCPUで行うことから、GPUエミュレーションで計算した誤差がCPUで行った結果と一致していることを確認した。

3.4 実行性能

nVIDIA GeForce 8800 Ultra は、G80 の GPU コアであるが、メモリアンターフェイスが 384bit あるため G92 世代の GPU カードよりメモリ転送速度が速く、ピーク性能が 100GB/sec を超える。理研ベンチマークテストはメモリ転送速度が速いほど有利であり、GeForce8800 Ultra を 1 枚用いた際の実行性能は 30.6GFLOPS となった。GPU では SP が整数演算も浮動小数点演算も行うが、CPU での計算と比較するために浮動小数点演算部分のみカウントし FLOPS 値を算出している。CPU (AMD Phenom 2.3GHz) で実行速度は 0.976GFLOPS であり、GPU を用いることにより 31.4 倍の高速化が達成されたことになる。

4. 複数 GPU による高速化

4.1 領域分割方法の検討

複数 GPU を用いてさらに理研ベンチマークテストの高速化を試みた。今回用いたマザーボードは MSI K9A2 Platinum で、PCI Express x16 (Generation 2) が 4 スロットある。ただし、図 4 のように 4 枚の GPU を装着した場合は、それぞれが PCI Express x8 (Generation 2.0) となることが分かっている。GPU

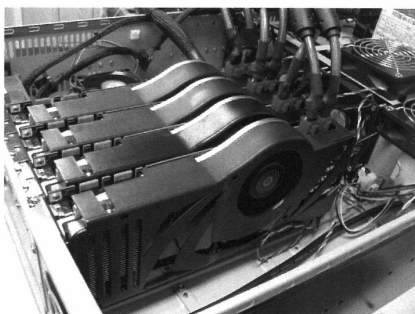


図 4 4 つの PCI-Express x16 幅スロットに装着された GPU 群
Fig. 4 4 GPUs on 4 PCI-Express slots

の演算負荷低減およびメモリバンド幅の増大を狙って、領域分割による並列化を行った。MPI ライブラリを利用した領域分割による並列計算と同様に、分割領域の境界データを隣接領域から取得する必要がある。GPU カードを超えて Global memory の内容を相互に直接参照することができないので、図 5 のように CPU 側のメインメモリ上にバッファ領域を確保し、そのメモリ領域を介して境界データを反復計算の度に交換している。

計算領域を図 5 のように長軸である z 方向に短冊状に 1 次元分割する理由は、圧力 p の計算の隣接参照が対角線にまで伸びているため、2 次元分割を行うと通信回数が倍に増えるためである。複数の GPU を

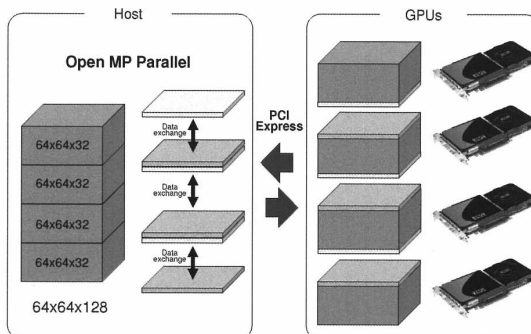


図 5 4 枚の GPU を使い、分割された領域を並列計算する概念図
Fig. 5 Concept of Parallel Computation using 4 GPUs

制御するために、CPU 側で使用する GPU の数だけ Open MP のスレッドを走らせ、GPU のカーネル関数を実行させる。

4.2 実行性能

表 4 に結果を示す。S サイズの計算を 4 GPU で行った結果は 51.9 GFLOPS で、4 枚の GPU を用いて約 1.7 倍しか速くなっていないことが分かる。これは PCI-Express Bus を介して GPU の Global memory と CPU 側のメインメモリ間のデータ転送が遅いことが最大の理由である。図 6 は、GPU の Global memory と CPU のメモリへの転送速度の実測値である。S サイズの計算では交換する境界領域のデータのサイズが 32kB と小さいためオーバーヘッドが大きく転送速度が低いことが分かる。M サイズの問題、L サイズの問題を同様に複数 GPU で計算した結果が表 4 である。境界領域のデータ交換に所用する時間が計算時間に対して相対的に小さくなったためであり、L サイズの問題では 4 枚の GPU を用いて約 3 倍の性能向上が得られた。

表 4 GPU による Poisson ベンチマーク高速化結果
Table 4 Parallel performance of Riken Benchmark using GPUs

Size	# of GPUs	Performance[GFlops]	Time[sec.]
S	1	30.6	0.268
	2	42.5	0.193
	4	51.9	0.158
M	1	29.4	2.328
	2	53.7	1.275
	4	83.6	0.8190
L	1	-	-
	2	-	-
	4	93.6	5.974

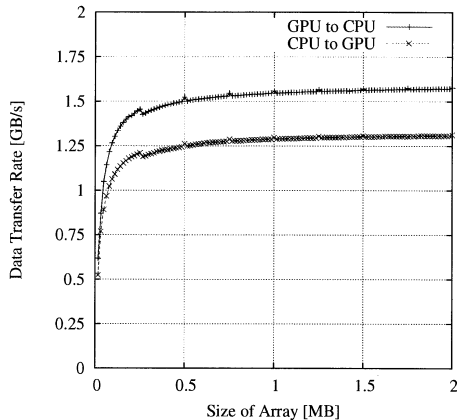


図 6 GPU と CPU 間のデータ転送実効速度
Fig. 6 Data Transfer Rate between GPU and CPU

5. おわりに

これまで、GPU で格子計算を加速する報告は余り報告されてこなかったが、理研ベンチマークテストという Poisson 方程式を定常反復法 (Point Jacobi 法) で解く問題を GPU で加速することができた。GPU を 1 枚使って 30.6 GFLOPS の性能を引き出すことができ、メモリバンド幅律速であるにもかかわらず、CPU での計算の 30 倍以上の高速化が達成された。また、複数枚の GPU を使ったカードを超えた並列計算も行い、4 GPU を用いて 93.6 GFLOPS が得られ、これはベクトル型スパコン SX-8 の 15 CPU 分に相当する性能が 1 台の PC の筐体で達成されたことになる。

謝辞 本研究の一部は、日本学術振興会 グローバル COE プログラム「計算世界観の深化と発展」及び、科学技術振興機構 CREST「ULP-HPC：次世代テクノロジーのモデル化・最適化による低消費電力ハイパフォーマンスコンピューティング」の支援による。

参 考 文 献

- 1) nVIDIA CUDA : <http://www.nvidia.com/cuda/>
- 2) 奥山倫弘、伊野文彦、萩原兼一 : CUDA を用いた GPU による全点対最短経路問題の実装比較, pp.58, HPCS2008 (2008)
- 3) 坂牧隆司、成見哲、泰岡顕治 : ビデオゲーム用ハードウェアを用いた高速分子動力学シミュレーション, 101P, 第 21 回分子シミュレーション討論会 (2007)
- 4) Hamada T., Iitaka T. : *The Chamomile Scheme : An Optimized Algorithm for N-body*

simulation on Programmable Graphics Processing Units,

<http://arxiv.org/abs/astro-ph/0703100v1> (2007)

- 5) 理研ベンチマーク : <http://acc.riken.jp/HPC/HimenoBMT/index.html>.
- 6) Clearspeed : <http://www.clearspeed.com>
- 7) 西川由里、鯉淵道紘、吉見真聡、天野英晴 : ClearSpeed 製コプロセッサの並列ベンチマークによる性能評価と性能向上手法の提案 : 情報処理学会研究報告 2007-HPC-109(pp257-262, March 2)(2007)